

Failure Optimization and Curing Properties of a Passenger Tire Tread Compound

M. Shiva¹, H. Atashi²

1. Research Center of Kavir Tire Co., P.O. Box: 518, Birjand, Iran
2. Department of Chemical Engineering, University of Sistan and Baluchestan,
P.O. Box: 98-164161, Zahedan, Iran

Received 29 June 2009, accepted 10 August 2010

ABSTRACT

The blending of NR and BR rubber blend with N330 carbon black is studied on curing behavior and the physico-mechanical properties of a SBR rubber based tire tread compound containing N234 carbon black. The effect of sulphur and accelerator contents on different properties of rubber compound is also tested with a wide range of curing agents. Partial substitution of SBR with NR shows significant improvement in cure characteristics, tear resistance, crack growth, resilience and abrasion without much changes in its hardness, dispersion and tensile properties. Partial substituted BR delivers the same results except a considerable increase in the rate of crack growth. A partial substitution of N234 with N330 has a relatively negative effect on the abrasion and tear resistance, but decreases the crack growth rate. The crack growth rate increases with increased level of sulphur and accelerator and the abrasion decreases at certain level of curing agent, although it increases thereafter (crosslink density). The tensile and tear resistance increase first and then decrease with further increase of crosslink density. The study on the governing mechanisms shows that beside rubber chains induced crystallinity, the rubber chain mobility dominates the crack growth rate, while a competition exists between this mechanism and reinforcement mechanism for other failed properties. Finally, an optimized formulation based on SBR/BR/NR and N234/N330 with optimum crosslink density and sulphur/accelerator ratio has been calculated.

Key Words:

statistical experimental design, modeling, optimizing, tear resistance, crack growth rate

(*)To whom correspondence should be addressed.

E-mail: mehdi.shiva@gmail.com

بهینه‌سازی خواص شکست و رفتار پخت آمیزه رویه تایر سواری

مهدی شیوا^{۱*}، حسین آتشی^۲

۱- بیرجند، دانشگاه آزاد اسلامی، گروه مهندسی شیمی و واحد تحقیقات کویر تایر، صندوق پستی ۵۱۸

۲- زاهدان، دانشگاه سیستان و بلوچستان، گروه مهندسی شیمی، صندوق پستی ۹۸-۱۶۴۱۶۱

دریافت: ۸/۵/۱۹، پذیرش: ۸/۴/۸

چکیده

اثر آمیخته‌سازی با کائوچوی طبیعی و کائوچوی بوتادی ان و آمیخته‌سازی با دوده N330 بر رفتار پخت و خواص فیزیکی - مکانیکی آمیزه رویه تایر بر پایه کائوچوی SBR و دوده N234 بررسی شده است. همچنین، اثر مقدار گوگرد و شتاب دهنده بر خواص مختلف آمیزه لاستیکی در بازه گسترده مقادیر عوامل پخت مطالعه شد. جایگزینی بخشی از کائوچوی SBR با کائوچوی طبیعی بهبود قابل توجه مقاومت پارگی، رشد ترک، گرمایی، خواص پخت و سایش را به دنبال داشت بدون آن که سختی، پراکنش و استحکام کششی تغییر محسوسی کند. جایگزینی با کائوچوی بوتادی ان نیز همین روند را به همراه داشت، بجز این که سرعت رشد ترک افزایش قابل توجهی نشان داد. جایگزینی بخشی از دوده N234 با دوده N330 باعث افت اندک در سایش و مقاومت پارگی شد. اما، سرعت رشد ترک را کاهش داد. سرعت رشد ترک با افزایش مقدار گوگرد و شتاب دهنده افزایش و مقدار سایش ابتدا کاهش و سپس افزایش نشان داد. استحکام کششی و مقاومت پارگی نیز ابتدا روند افزایشی با چگالی اتصالات عرضی نشان دادند و سپس با افزایش بیشتر دچار افت شدند. مطالعه ساز و کارهای حاکم نشان داد، در کنار ساز و کار بلورینگی القایی زنجیرهای لاستیک، ساز و کار قابلیت تحرک زنجیرها بر رشد ترک حاکمیت دارد. حال آن که برای سایر خواص شکست، رقابتی بین این ساز و کار با ساز و کار تقویت مشهود است. در نهایت فرمول بندی بهینه بر پایه آمیخته سه‌تایی لاستیک SBR/BR/NR و دوتایی دوده N234/N330 محاسبه شد که در آن سطح چگالی اتصالات عرضی و نسبت گوگرد به شتاب دهنده بهینه شده است.

واژه‌های کلیدی

طرح آزمون آماری،
مدل سازی، بهینه سازی،
مقاومت پارگی،
سرعت رشد ترک

* مسئول مکاتبات، پیام نگار:

mehdi.shiva@gmail.com

بیشترین ضخامت را دارد و معمولاً زمان نیاز برای پخت ناحیه مغز

رویه به عنوان زمان کلی دوره پخت محسوب می‌شود.

یکی از روش‌های کاهش زمان دوره پخت، افزایش سرعت پخت آمیزه لاستیکی با افزایش مقادیر گوگرد و شتاب دهنده است. این امر افزایش چگالی اتصالات عرضی رانیز در پی دارد که بر خواص فیزیکی - مکانیکی و به ویژه خواص شکست اثرگذار است [۱۵-۷]. نحوه اثر نوع چگالی اتصالات عرضی بر خواص مختلف آمیزه لاستیکی و ساز و کارهای حاکم بر رفتارها برای آمیزه رویه تایر باری بر پایه کائوچوی NR/BR مطالعه شده است [۱۴-۱۱]. در این مطالعات اشاره شده که عامل محدودکننده مقدار گوگرد و شتاب دهنده، افزایش بیش از حد چگالی اتصالات عرضی است که قابلیت زنجیرهای لاستیک را برای دفع تنش کاهش داده و اثر منفی بر خواص شکست دارد.

درباره اثر نوع اتصالات عرضی بر خواص فیزیکی - مکانیکی و به ویژه مقاومت پارگی و رشد ترک، مطالعات جدید نشان می‌دهد، در چگالی اتصالات عرضی کم، پیوندهای تک گوگردی عملکرد بهتری دارند. زیرا، در این ناحیه وجود پیوندهای قوی ضروری است [۱۳، ۱۲]. اما در چگالی اتصالات عرضی زیاد، فرایندهای اتلافی نقش مهم تری ایفا می‌کنند. وجود پیوندهای چند گوگردی که قابلیت انعطاف پذیری بیشتر و نیز قابلیت شکسته شدن و تشکیل مجدد در فرایندهای تکراری را دارند، عملکرد بهتری نشان می‌دهند [۱۵، ۱۳]. برای فرمول بندی آمیزه رویه تایر با چگالی اتصالات متوسط، به احتمال زیاد، برهم کنش این ساز و کارها باعث کم رنگ شدن اثر نسبت گوگرد به شتاب دهنده می‌شود. بنابراین، یکی از راه‌های افزایش سرعت پخت آمیزه لاستیکی در کنار حفظ خواص آن می‌تواند تغییر نسبت گوگرد به شتاب دهنده باشد.

هم چنین، آمیخته سازی با سایر کائوچوها می‌تواند راهی برای دست یابی به اهداف مدنظر باشد. استفاده از کائوچوهایی نظری کائوچوی طبیعی با قابلیت بلورینگی زیرکش زیاد و کائوچوی سیسی BR می‌تواند ساز و کارهای حاکم بر خواص شکست را تغییر داده و برای هدف افزایش سرعت پخت رویه تایر نیز مفید باشد.

در این مطالعه به کمک طراحی آزمایش، مدل سازی و بهینه سازی آماری برای یک آمیزه شاهد رویه تایر سواری بر پایه SBR، اثر آمیخته سازی با کائوچو، آمیخته سازی با دوده و تغییر مقدار گوگرد و شتاب دهنده بر خواص پخت و خواص فیزیکی - مکانیکی آمیزه بررسی شده است. هم چنین، ساز و کارهای حاکم بر خواص شکست به طور جامع مطالعه شده است.

مقدمه

طرح آزمون آماری مجموعه‌ای از آزمایش‌های الگودار در مسیری است که پاسخ‌های واضحی به مسائل ناشناخته می‌دهد. اهداف آزمایش‌های آماری را می‌توان به دو مقوله توضیح (و شناخت) رفتارها و پیش‌بینی (و بهینه سازی) رفتارها دسته‌بندی کرد. طرح‌های آماری غربالی (screening designs) به طور عمومی در مراحل اولیه مطالعات استفاده می‌شوند تا مجموعه متغیرهای کنترل کننده تغییرات مشخص شود. تحلیل داده برای این طرح‌ها می‌تواند با تحلیل برآزش خطی چندگانه و منحنی‌های مربوط (منحنی‌های آثار اصلی، برهم کش و پارت) انجام شود.

در مواردی که به بیش از دو سطح برای متغیرهای نیاز باشد، طرح‌های فاکتوریل مخلوط (mixed-level factorial designs) و تاگوچی استفاده می‌شود. طرح‌های آماری مشروح بیشتر برای توصیف رفتارها تا پیش‌بینی رفتارها استفاده می‌شوند. هر چند می‌توان برای هر طراحی یک مدل ریاضی برآزش کرد، اما این مدل‌ها قادر جمله توان دوم (quadratic term) هستند.

به کمک طرح‌های پاسخ سطح امکان برآزش داده‌ها به کمک یک مدل درجه دوم وجود دارد. به این ترتیب، می‌توان رفتارها را پیش‌بینی و بهینه سازی کرد. این مقوله در مراجع علمی بسیاری در حوزه الاستومرها و آمیزه کاری لاستیک بررسی شده است [۱]. در این مراجع به طور عمده از منحنی‌های سطح پاسخ و Contour برای نمایش، پیش‌بینی و بهینه سازی رفتارها استفاده شده است.

به عنوان مثال می‌توان به پژوهش Kukreja [۲] اشاره کرد که در آن آثار افزودن روغن گیاهی و دوده در آمیزه NR/BR به کمک منحنی‌های Contour مورد مطالعه قرار گرفته است. هم چنین به تازگی اثر افزودن سیلیکا، تغییر نسبت کائوچو و تغییر مقدار گوگرد بر خواص فیزیکی مکانیکی آمیزه رویه تایر باری در قالب یک طرح آزمایش Box-behnken به کمک منحنی‌های پاسخ سطح مورد مطالعه قرار گرفته است [۳].

اما کاربرد اصلی روش سطح پاسخ در آمیزه کاری لاستیک یافتن فرمول بندی است که در آن بهترین موازنۀ خواص برقرار باشد. این کار توسط چند پژوهشگر برای آمیزه رویه تایر انجام شده است. Weissert و Cundiff رویه تایر باری را با مطالعه آثار دوده، روغن، روی اکسید، استناریک اسید، گوگرد و شتاب دهنده بهینه کردنده [۴].

در باره طراحی آمیزه رویه تایر، از عوامل مهمی که امروزه مورد توجه ویژه قرار گرفته است، افزایش سرعت پخت (کاهش زمان پخت) آمیزه در کنار حفظ خواص آن است. عامل محدودکننده پخت آمیزه لاستیکی، ضریب رسانایی گرمایی کم آن است [۵، ۶]. در تایر، ناحیه رویه

تجربی

مصنوعی SBR1712، ۹۵٪ قسمت وزنی دوده N234 و ۹٪ قسمت وزنی روغن بود. از سامانه شامل روی اکسید (۴٪) (قسمت وزنی)، استئاریک اسید (۱٪) (قسمت وزنی)، گوگرد معمولی (۷٪) (قسمت وزنی) و شتاب دهنده سولفونامیدی CBS (۲٪) (قسمت وزنی) و PVI (۱٪) (قسمت وزنی) استفاده شد.

دو مجموعه فرمول بندی مورد استفاده در جدول های ۲ و ۳ ارائه شده است (مجموعه های T و K). فرمول بندی مجموعه اول (مجموعه M) بر اساس طراحی آزمایش تاگوچی است که در نرم افزار MINITAB و برای سه متغیر کائوچوی طبیعی، کائوچوی بوتادی ان و دوده N330 در سه سطح به شرح زیر انجام شده است:

- کائوچوی طبیعی: ۰، ۱۵ و ۲۰٪
- کائوچوی سیس بوتادی ان: ۰، ۱۵ و ۲۰٪
- دوده N330: ۱۵ و ۳۰٪

مجموع کائوچو در همه فرمول بندی ها ثابت و برابر ۱۰۰٪ قسمت وزنی و مجموع کل پرکننده نیز ۶۵٪ قسمت وزنی بود. عوامل پخت در مجموعه T بدون تغییر باقی ماندند.

هم چنین، به دلیل روغن موجود در کائوچوی SBR1712، در فرمول بندی های جای گزینی، به ازای هر ۱۰٪ قسمت وزنی جای گزینی کائوچوی SBR1712 با کائوچوی NR (یا بوتادی ان)، ۲٪ قسمت وزنی به مقدار روغن آروماتیک اضافه شد تا متغیر اضافی جزء لاستیکی حذف شود.

مواد

مواد استفاده شده در این پژوهش، مواد معمول به کار رفته در فرمول بندی آمیزه رویه رادیال سواری بود که در جدول ۱ ارائه شده است.

دستگاه ها

مخلوط کن آزمایشگاهی ۲ لیتری ساخت شرکت پومینی ایتالیا، آسیاب دوغلتکی مدل MCCIN 152X305R-E ساخت Bergamo ایتالیا برای اختلاط مواد و تهیه آمیزه ها، پرس پخت آزمایشگاهی ۱۰۰ تنی ساخت ژاپن به منظور پخت آمیزه ها و ریومتر ODR ساخت شرکت Alpha انگلیس به منظور تعیین زمان پخت و خواص ریومتری آمیزه ها به کار گرفته شد. به منظور آزمون خواص نهایی از دستگاه های زیر کمک گرفته شده است: دینامومتر ساخت Hounsfield، تریپسومتر دانلوب ساخت شرکت Wallace، سایش سنج Zwick، سختی سنج، دستگاه رشد ترکی دی متیا و دستگاه پراکنده ساز.

روش ها**تهیه آمیزه**

فرمول بندی شاهد مورد استفاده، شامل ۱۰۰٪ قسمت وزنی کائوچوی

جدول ۱ - مواد مورد استفاده در فرمول بندی.

مشخصات	شرکت سازنده	ماده اولیه
PRI=۵۹/۹، چگالی ۰/۹۱، گرانروی مونی ۸۸	ماروب مالزی	کائوچوی طبیعی
چگالی ۰/۹۰۸، گرانروی مونی ۴۵	پتروشیمی اراك	کائوچوی بوتادی ان
چگالی ۰/۹۵۴، گرانروی مونی ۴۸	پتروشیمی بندر امام	کائوچوی استیرن - بوتادی ان
چگالی ۱/۷۸، pH=۸، عدد جذب یدی ۱۲/۵، عدد DBP ۱۲۰/۳	DC Chem. کره جنوبی	N234 دوده
چگالی ۱/۸، pH=۸/۶۸، عدد جذب یدی ۸/۱۷، عدد DBP ۱۰/۷۴	کربن اهواز	N330 دوده
-	-	روغن آروماتیک
-	پارس اکسید	روی اکسید
-	Minco مالزی	استئاریک اسید
-	Bayer آلمان	محفاظت کننده ها
-	تابان پودر اصفهان	گوگرد معمولی
-	Neocil هند	شتاب دهنده CBS
-	Neocil هند	بازدارنده PVI

جدول ۲ - فرمول بندی و نتایج، طراحی آزمایش تاگوجی، مطالعه اثر آمیخته سازی بر خواص مختلف آمیزه رویه تایر.

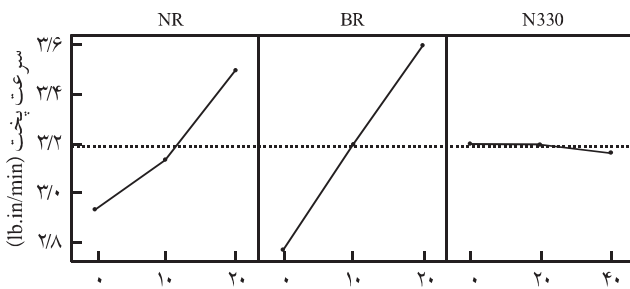
سرعت پخت (lb.in/min)	خواص ریومتری در دمای ۱۴۵°C					فرمول بندی			کد فرمول بندی
	زمان پخت بهینه (min)	زمان اینمی (min)	گشتاور اختلاف (lb.in)	گشتاور بیشینه (lb.in)	N330	BR	NR		
۲/۵	۲۷/۱۶	۱۵/۰۴	۲۳/۱۱	۳۰/۵۳	۰	۰	۰	T1	
۲/۹	۲۷/۵۱	۱۵/۲۴	۲۲/۹۹	۳۰/۰۱	۱۵	۱۰	۰	T2	
۳/۴	۲۶/۴۸	۱۵	۲۴/۸۶	۳۱/۸۸	۳۰	۲۰	۰	T3	
۲/۸	۲۶/۵۸	۱۴/۰۲	۲۴/۳۳	۳۱/۸۳	۱۵	۰	۱۰	T4	
۳/۱	۲۶/۰۲	۱۴/۵۳	۲۴/۶۵	۳۱/۵۳	۳۰	۱۰	۱۰	T5	
۳/۵	۲۶/۳۳	۱۴/۵۲	۲۵/۵۶	۳۲/۳۵	۰	۲۰	۱۰	T6	
۳	۲۶/۳۹	۱۴/۱۵	۲۵/۱۵	۳۲/۰۸	۳۰	۰	۲۰	T7	
۳/۶	۲۵/۳	۱۳/۴۱	۲۷/۰۳	۳۵/۰۷	۰	۱۰	۲۰	T8	
۳/۹	۲۵/۳	۱۴/۴۲	۲۶/۶۶	۳۳/۷۷	۱۵	۲۰	۲۰	T9	
خواص فیزیکی و مکانیکی									
شاخص پراکنش	جهنده‌گی (%)	سختی (shore A)	سرعت رشد ترک (mm/kcycle)	مقاومت پارگی (kN/m)	سایش (mm³)	% ۲۰۰ مدول (MPa)	ازدیاد طول (%)	استحکام کششی (MPa)	کد فرمول بندی
۷	۱۴/۰	۶۹	۲/۸۷	۳۰/۶	۱۲۷/۶	۱۷۹	۴۲۰/۶	۱۸	T1
۷	۱۶/۵	۶۹	۳/۲۲	۳۰/۵	۱۱۴/۰۳	۱۷۸	۴۱۵/۶	۱۷/۷	T2
۶	۱۹/۰	۶۶	۳/۶	۳۱/۹	۱۰۹/۰۳	۱۲۷	۳۷۷/۸	۱۶/۶	T3
۶	۱۵/۸	۶۸	۲/۸۲	۳۷/۴	۱۲۲/۱	۱۷۹	۴۰۱/۸	۱۷/۱	T4
۶	۱۸/۵	۶۷	۲/۶۷	۳۶/۵	۱۱۱/۶	۱۷۸	۳۸۸	۱۶/۴	T5
۶	۱۷/۰	۶۶	۳/۱	۴۹/۶	۹۷/۸	۱۱	۴۲۵/۹	۱۷/۴	T6
۶	۱۷/۰	۶۷	۲/۱۳	۵۴/۱	۱۱۹/۷	۱۲/۳	۳۹۶/۹	۱۷/۴	T7
۷	۱۷/۰	۶۹	۳/۲	۶۹	۱۰۹/۳۳	۱۷۵	۴۰۰/۵	۱۶/۷	T8
۶	۱۹/۴	۶۶	۲/۸۱	۷۳/۸	۹۸/۳	۱۰/۹	۴۱۴/۱	۱۶/۷	T9

و در شرایط ثابت (دور چرخنده ۴۰ rpm و زمان اختلاط کل ۴ min) تهیه شدند. روال اختلاط مواد برای تمام آمیزه‌ها یکسان بود. هنگام استفاده از آمیخته، کائوچوها هم زمان و در ابتدای دوره اختلاط به همراه مواد شیمیایی به مخلوط کن اضافه شده و سپس دوده (ها) و پس از آن روغن به چرخه اختلاط اضافه شد. در مرحله نهایی، عوامل پخت روی آسیاب دوغلتکی و در شرایط ثابت به آمیزه‌ها اضافه شده است. گوگرد و شتاب دهنده‌ها هم زمان به چرخه اختلاط افزوده شدند. نمونه‌های نهایی در دمای ۱۴۵°C و با توجه به زمان پخت بهینه به دست آمده از

مجموعه دوم فرمول بندی‌ها، مجموعه K (جدول ۳) با هدف مدل سازی و بهینه‌سازی سامانه پخت طراحی شده‌اند. یکی از فرمول بندی‌های مرحله اول بر پایه SBR/NR/BR انتخاب شد و برای این فرمول بندی، تأخیرانداز PVI حذف شد که علت آن در ادامه آمده است. سپس، از طراحی فاکتوریل کامل استفاده و مقادیر گوگرد و شتاب دهنده در سطح ۱/۰، ۱/۷۵ و ۲/۰ انتخاب شده است. فرمول بندی بر اساس طرح آزمایش در جدول ۳ ارائه شده است. تمام آمیزه‌های فرمول بندی مجموعه اول در مخلوط کن آزمایشگاهی

جدول ۳ - فرمول بندی و نتایج ریومتری در دمای ۱۴۵°C برای بهینه سازی سامانه پخت (مجموعه K).

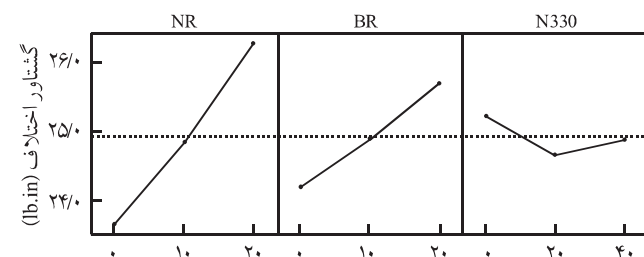
سرعت پخت (lb.in/min)	زمان اینمنی (min)	گشتاور اختلاف (lb.in)	گشتاور بیشینه (lb.in)	گشتاور کمینه (lb.in)	زمان پخت بهینه (min)	فرمول بندی			کد فرمول بندی
						مقدار گوگرد (phr)	CBS (phr)	مقدار پیمانه اصلی مصرفی	
۱/۶	۱۰/۰۲	۳۵/۷۶	۴۴/۲۲	۸/۴۶	۱۶/۲۱	۲	۲	۱۷۰	K1
۴/۱	۱۱/۱۹	۳۷/۰۴	۴۰/۰۷	۹/۰۳	۲۴/۵۱	۲	۱	۱۷۰	K2
۶/۱	۱۲/۲۱	۲۶/۱۱	۳۵/۱۵	۹/۰۴	۲۰/۱	۱	۲	۱۷۰	K3
۴/۲	۱۳/۰۳	۲۳/۹۶	۳۳/۰۸	۹/۱۲	۲۳/۲۷	۱	۱/۵	۱۷۰	K4
۳/۶	۱۲/۲۸	۲۷/۰۲	۳۶/۳۹	۸/۸۷	۲۵/۴۷	۱/۵	۱	۱۷۰	K5
۷/۷	۱۰/۴۹	۳۳/۵۶	۴۲/۴۲	۸/۸۵	۱۹/۱۶	۲	۱/۵	۱۷۰	K6
۶/۳	۱۲/۲۱	۲۶/۵۴	۳۵/۴۶	۸/۹۱	۱۹/۵۶	۱	۲	۱۷۰	K7
۰/۴	۲۵/۰۶	۵/۴۳	۱۴/۴	۸/۹۷	۳۷/۰۹	۰/۵	۰/۵	۱۷۰	K8
۱/۷۳	۱۰/۱۲	۳۵/۶۷	۴۳/۸۱	۸/۱۴	۱۶/۲۵	۲	۲	۱۷۰	K9
۲/۳	۱۴/۰۶	۱۸/۰۷	۲۶/۷۴	۸/۸۷	۲۶/۴۲	۰/۵	۲	۱۷۰	K10
۰/۴	۲۴/۲۳	۵/۰۳	۱۴/۲۳	۸/۷	۳۷/۰۶	۰/۵	۰/۵	۱۷۰	K11
۱	۱۷/۰۹	۱۳/۱۸	۲۱/۲۱	۸/۰۳	۳۳/۰۸	۰/۵	۱	۱۷۰	K12
۱/۱	۱۴/۳۶	۱۸/۷	۲۷/۸۴	۹/۱۴	۳۴/۰۴	۱/۵	۰/۵	۱۷۰	K13
۱/۲	۱۳/۵۵	۱۹/۸۲	۲۷/۶۲	۸/۸	۳۳/۲۹	۱/۵	۰/۵	۱۷۰	K14
۲/۶	۱۳/۳۹	۲۲/۳۷	۳/۱	۸/۷۳	۲۷/۵۳	۱	۱	۱۷۰	K15
۴/۳	۱۳/۰۴	۲۴/۸۸	۳۳/۸۲	۸/۹۳	۲۲/۲۶	۱	۱/۵	۱۷۰	K16
۹/۱	۱۱/۰۹	۳۷/۷۸	۴۰/۲۸	۸/۰	۱۷/۲۱	۱/۵	۲	۱۷۰	K17
۱/۶	۱۲/۵۶	۲۲/۸۲	۳۱/۸۲	۹	۳۲/۵۵	۲	۰/۵	۱۷۰	K18
۲/۵	۱۵/۱۲	۱۸/۰۵	۲۶/۸۶	۸/۸۱	۲۶/۲۳	۰/۵	۲	۱۷۰	K19
۴/۳	۱۱/۳۱	۳۰/۸۳	۳۹/۸۴	۹/۰۱	۲۴/۱	۲	۱	۱۷۰	K20
۷/۵	۱۶/۲۸	۱۴/۷۶	۲۳/۷۳	۸/۹۷	۳۰/۲۹	۰/۵	۱/۵	۱۷۰	K21
۳/۵	۱۲/۴۸	۲۶/۸۵	۳۵/۳	۸/۴۵	۲۶/۳۶	۱/۵	۱	۱۷۰	K22
۰/۸	۱۷/۵۱	۱۲/۷۲	۲۱/۶۶	۸/۹۳	۳۵/۲۹	۱	۰/۵	۱۷۰	K23
۱/۶	۱۶/۳۸	۱۵/۳۷	۲۴/۳۱	۸/۹۴	۳۰/۵	۰/۵	۱/۵	۱۷۰	K24
۱	۱۷/۰۹	۱۳/۱۸	۲۱/۲۱	۸/۰۳	۳۳/۰۸	۰/۵	۱	۱۷۰	K25
۸/۱	۱۰/۵۹	۳۲/۳۳	۴۰/۰۷	۷/۷۳	۱۷/۵۹	۲	۱/۵	۱۷۰	K26
۰/۸	۱۷/۵۱	۱۲/۷۲	۲۱/۶۶	۸/۹۳	۳۵/۲۹	۱	۰/۵	۱۷۰	K27
۹/۵	۱۰/۰۱	۳۱/۹۸	۴۰/۶۵	۸/۸۷	۱۷/۳۷	۱/۵	۲	۱۷۰	K28
۶/۸	۱۱/۴۲	۲۹/۵۸	۳۷/۷۴۸	۸/۹	۲۰/۲۳	۱/۵	۱/۵	۱۷۰	K29
۲/۳	۱۴	۲۰/۷۴	۲۹/۹۶	۹/۲۳	۲۸/۳۳	۱	۱	۱۷۰	K30
۶/۸	۱۱/۵۱	۳۰/۲۱	۳۷/۸۷	۷/۶۶	۲۰/۴۲	۱/۵	۱/۵	۱۷۰	K31
۱/۶	۱۲/۵۶	۲۲/۸۲	۳۱/۸۲	۹	۳۲/۵۵	۲	۰/۵	۱۷۰	K32



شکل ۱ - منحنی آثار اصلی - مطالعه هم زمان آثر جای گزینی بخشی از کائوچوی SBR1712 با کائوچوی طبیعی و کائوچوی بوتادی ان و جای گزینی بخشی از دوده N234 با دوده N330 بر سرعت پخت آمیزه رویه تایر.

جای گزینی بخشی از دوده اصلی (N234) با دوده N330 باعث کاهش جزئی سرعت پخت و چگالی اتصالات عرضی شده است. با توجه به این که بازی بودن سطح این دو پرکننده با هم برابر است ($pH=8$), افت اندک مشاهده شده در سرعت پخت و چگالی اتصالات عرضی را می‌توان به مساحت سطح کمتر دوده N330 در مقایسه با دوده N234 نسبت داد.

خواص فیزیکی - مکانیکی و نقصی
با توجه به داده‌های ارائه شده در جدول ۴ می‌توان گفت، جای گزینی‌های انجام شده آثر قابل توجهی بر استحکام کششی، شاخص پراکنش و تا حدودی سختی آمیزه‌ها ندارند. هرچند به نظر می‌رسد، شاخص پراکنش و نیز سختی آمیزه‌ها به هنگام آمیخته سازی اندکی کاهش یافته است. اما، تغییرات قابل توجهی در مقادیر جهندگی، مقاومت پارگی، سرعت رشد ترک دی‌متیا و مقاومت سایشی مشاهده می‌شود. این تغییرات در



شکل ۲ - منحنی آثار اصلی - مطالعه هم زمان آثر جای گزینی بخشی از کائوچوی SBR1712 با کائوچوی طبیعی و کائوچوی بوتادی ان و جای گزینی بخشی از دوده N234 با دوده N330 بر گشتاور اختلاف آمیزه رویه تایر.

آزمون ریومتر پخت شدند. آزمون‌ها یک روز پس از پخت انجام شده است.

خواص اندازه‌گیری شده برای آمیزه‌ها عبارت بودند از: خواص ریومتری در دمای 145°C (زمان اینمی، گشتاور بیشینه و گشتاور اختلاف، سرعت پخت و زمان پخت بهینه اندازه‌گیری با ریومتر)، خواص کششی (استحکام کششی، ازدیاد طول تا پارگی و مدول $\%300$ اندازه‌گیری با دینامومتر)، خواص شکست (مقاومت پارگی با دینامتر، مقاومت در برابر رشد ترک به کمک آزمونگر دی‌متیا و سایش به وسیله دستگاه سایش)، گرمایی (به طور غیرمستقیم با اندازه‌گیری جهندگی) و سختی (اندازه‌گیری با سختی سنج). آزمون‌های ریومتر، سختی، سایش، مقاومت پارگی و پراکنش به ترتیب مطابق استانداردهای ASTM D624، ISO 4649، ASTM D2240، ASTM D1349 و ISO 11345 انجام شدند. برای اندازه‌گیری رشد ترک، سرعت رشد ترک در دستگاه دی‌متیا و با محاسبه شب منحنی تغییرات مقدار رشد ترک در چرخه‌های مختلف گزارش شده است.

نتایج و بحث

نتایج ریومتری و خواص فیزیکی - مکانیکی برای فرمول‌بندی مجموعه اول (مجموعه T بر اساس طراحی آزمایش تاگوچی) در جدول ۲ و برای فرمول‌بندی مجموعه دوم (مجموعه K بر اساس طراحی آزمایش فاکتوریل کامل) در جدول‌های ۳ و ۴ ارائه شده است.

مطالعه اثر آمیخته سازی با کائوچوی طبیعی و بوتادی ان و دوده N330 (نتایج مجموعه K)

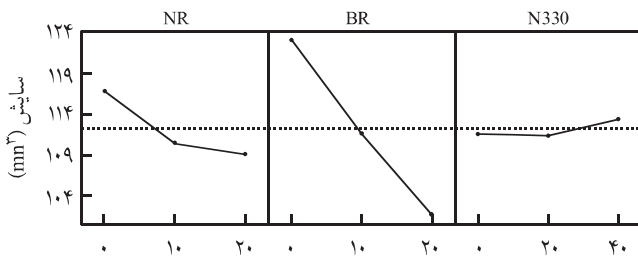
خواص پخت

اثر آمیخته سازی با کائوچوی طبیعی و کائوچوی بوتادی ان بر سرعت پخت، زمان پخت بهینه و اختلاف گشتاور آمیزه‌ها در شکل‌های ۱ تا ۳ ارائه شده است. مشاهده می‌شود، با افزایش مقدار کائوچوی طبیعی و هم‌چنین کائوچوی بوتادی ان، سرعت پخت (شکل ۱) و گشتاور اختلاف (شکل ۲) افزایش و زمان پخت بهینه (شکل ۳) کاهش قابل ملاحظه‌ای یافته است.

بنابراین، آمیخته سازی کائوچوی SBR1712 با کائوچوی طبیعی و کائوچوی بوتادی ان بهبود رفتار پخت گوگردی را به دنبال دارد، بهبود مشاهده شده را باید از نحوه اثر نوع کائوچو بر سینتیک پخت مورد بررسی قرار داد که این موضوع در حال حاضر در دست مطالعه است. مطالعه روند تغییرات شکل‌های ۱ تا ۳ برای دوده N330 نشان می‌دهد،

جدول ۴ - نتایج خواص فیزیکی - مکانیکی آمیزه های مجموعه K (بهینه سازی سامانه پخت)

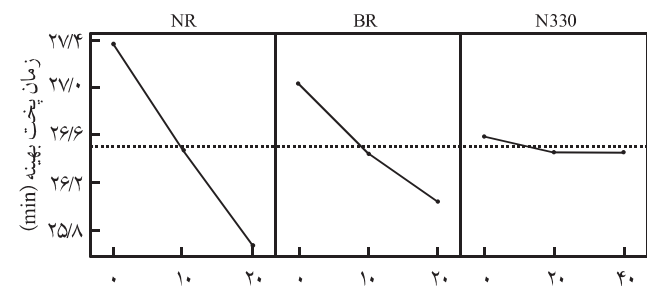
کد آمیزه	استحکام کششی (MPa)	از دیداد طول (%)	مدول (MPa)	% ۲۰۰	سایش (mm³)	مقاومت پارگی (kN/m)	سرعت رشد ترک (mm/kcycle)	سختی (shore A)	جهنگی (%)
K1	۱۳/۴	۲۲۸/۶	۱۷/۵	۱۱/۶	۶۴/۲	۴۰/۳	۴/۰۳	۷۳	۲۰/۵
K2	۱۶/۷	۳۲۹/۱	۹/۳	۹۷/۳	۴۹/۲	۴۱/۴۵	۴/۱۴۵	۷۱	۱۹/۸
K3	۱۷	۴۰/۱۳	۷/۲	۹۱/۶	۴۷/۸	۴۰/۰۶	۴/۰۶	۶۷	۱۸
K4	۱۶/۱	۴۲۱/۴	۶/۴	۸۸/۷	۶۲/۵	۳۱/۰۳	۳/۱۰۳	۶۶	۱۷/۲۵
K5	۱۸/۲	۴۰/۹/۵	۷/۷	۱۰/۱۶	۹۳/۸	۴۱/۱۵	۴/۱۵	۷۰	۱۷/۵
K6	۱۶/۲	۲۸۹/۲	۱۰/۴	۹۴/۴	۵۴/۶	۴۱/۱۲	۴/۱۲	۷۳	۲۰/۹
K7	۱۶/۵	۳۹۴	۶/۹	۸۵/۸	۵۲/۶	۴۰/۵۴	۴/۰۵۴	۷۰	۱۸
K8	۷/۵	۷۱۷/۸	۱/۹	۱۱/۶	۳۰/۱	۷/۴۴	۷/۴۴	۵۵	۱۰/۰
K9	۱۳/۸	۲۳۶	۱۱/۳	۹۷/۳	۶۴/۵	۴/۷۱	۴/۷۱	۷۴	۲۰
K10	۱۶/۹	۵۷۸/۱	۴/۴	۸۵/۸	۵۲/۴	۱۷/۹	۱۷/۹	۶۴	۱۰/۶
K11	۷/۷	۷۵۸/۹	۱/۹	۱۱/۵	۲۴/۱	۷/۴۳	۷/۴۳	۵۵	۱۲
K12	۱۴/۱	۶۷۸/۴	۳/۱	۸۸	۵۳/۶	۷/۳	۷/۳	۵۶	۱۴/۰
K13	۱۷/۵	۵۴۲	۰/۱	۱۰/۱۶	۵۵/۶	۲/۱۵	۲/۱۵	۶۸	۱۷/۲۵
K14	۱۷/۲	۵۰۶/۸	۰/۳	۱۰/۹/۴	۵۷/۸	۲/۱۴۷	۲/۱۴۷	۶۷	۱۴/۴
K15	۱۷/۳	۴۸۲/۱	۰/۸	۸۸/۷	۶۱/۳	۲/۱۲۳	۲/۱۲۳	۶۷	۱۷/۸
K16	۱۶/۷	۴۲۵/۲	۶/۳	۸۳	۵۹/۴	۲/۷۹	۲/۷۹	۶۷	۱۷/۴
K17	۱۳/۸	۲۷۹/۲	۹/۳	۸۵/۸	۶۴/۱	۳/۷۸	۳/۷۸	۷۰	۲۰/۷
K18	۱۷/۸	۴۲۹/۱	۶/۹	۱۰/۸/۷	۶۰/۹	۳/۷۳۹	۳/۷۳۹	۶۵	۱۷/۹
K19	۱۵/۷	۵۴۲/۷	۴/۵	۸۸/۷	۵۱/۹	۷/۴۹	۷/۴۹	۶۴	۱۶/۲۵
K20	۱۴/۴	۲۸۳/۴	۹/۲	۱۰/۰/۹	۵۸/۱	۳/۱۸۶	۳/۱۸۶	۷۱	۱۹/۲۵
K21	۱۴/۴	۵۶۵/۸	۴/۱	۸۰/۱	۵۶/۹	۷/۱	۷/۱	۶۲	۱۴/۰
K22	۱۵/۹	۳۷۰/۸	۷/۶	۹۷/۳	۵۹/۵	۳/۱۶۴	۳/۱۶۴	۶۹	۱۷/۹
K23	۱۴/۸	۶۳۳/۱	۳/۸	۸۷/۳	۵۰/۹	۷/۸۶	۷/۸۶	۶۶	۱۷
K24	۱۴/۳	۵۹۰/۹	۳/۹	۷۱/۵	۵۶/۲	۷/۴۲	۷/۴۲	۶۲	۱۵/۲۵
K25	۱۴/۱	۶۷۸/۴	۳/۱	۸۸	۵۳/۶	۷/۳	۷/۳	۵۶	۱۴/۵
K26	۱۵/۹	۲۹۶/۶	۹/۸	۹۴/۴	۶۳/۹	۴/۳	۴/۳	۶۸	۲۱
K27	۱۴/۸	۶۳۳/۱	۳/۸	۸۷/۳	۵۵/۹	۷/۸۶	۷/۸۶	۶۶	۱۷
K28	۱۳/۴	۲۶۰/۸	۹/۷	۱۱/۶	۶۷/۸	۴/۹	۴/۹	۷۰	۲۰/۴
K29	۱۷/۳	۳۵۷	۸/۵	۱۰/۸/۷	۶۷/۲	۴/۱۲	۴/۱۲	۷۰	۲۰/۲
K30	۱۶/۹	۵۰۲/۳	۰/۴	۸۸/۷	۶۷/۱	۲/۳	۲/۳	۶۷	۱۷/۷
K31	۱۷/۴	۳۶۲/۱	۸/۲	۸۰/۱	۶۰/۵	۵	۴/۱۲	۶۹	۲۰/۸
K32	۱۷/۶	۴۲۹/۱	۶/۹	۱۰/۸/۷	۶۰/۹	۳/۷۳۹	۳/۷۳۹	۶۵	۱۷/۹



شکل ۵- منحنی آثار اصلی - مطالعه هم زمان اثر جای گزینی بخشی از کائوچوی SBR1712 با کائوچوی طبیعی و کائوچوی بوتادی ان و جای گزینی بخشی از دوده N234 با دوده N330 بر سایش رویه تایر.

حالت ساز و کار غالب است.

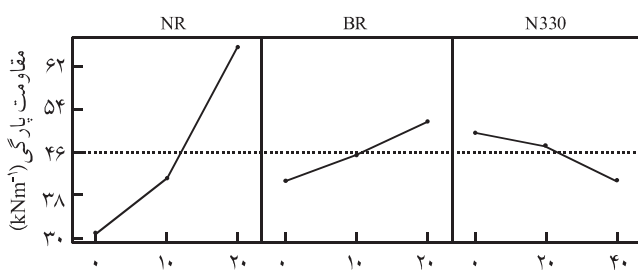
درباره مقاومت پارگی، جای گزینی کائوچوی طبیعی باعث بهبود مقاومت پارگی آمیزه‌ها (شکل ۶) شده است که این بهبود به ساز و کار بلورینگی القایی زنجیرهای کائوچوی طبیعی نسبت داده می‌شود. جای گزینی با کائوچوی بوتادی ان نیز اثر مثبتی را بر مقاومت پارگی نشان می‌دهد که مجدداً مربوط به قابلیت بلورینگی القایی زنجیرهای لاستیکی بوتادی ان با درجه سیس زیاد است. با توجه به این که قابلیت بلورینگی زیر تنش زنجیرهای کائوچوی طبیعی در مقایسه با کائوچوی مصنوعی سیس بوتادی ان بیشتر است، قابلیت بهبود مقاومت پارگی کائوچوی طبیعی نیز بیشتر است که این امر به طور مشخص با منحنی‌های آثار اصلی (شکل ۶) به تصویر کشیده شده است. با مشاهده تغییرات مقاومت پارگی با جای گزینی بخشی از دوده N234 با دوده N330 می‌توان دید که مقاومت پارگی با افزایش مقدار دوده N330 اندکی کاهش یافته است. این رفتار با نتایج مقاله پیشین مؤلفان [۱۱] متفاوت است. در آن جا مشاهده شد، در فرمول بندي رویه تایر باری پایه کائوچوی NR/BR (نسبت ۳۵/۶۵)، جای گزینی بخشی از پرکننده



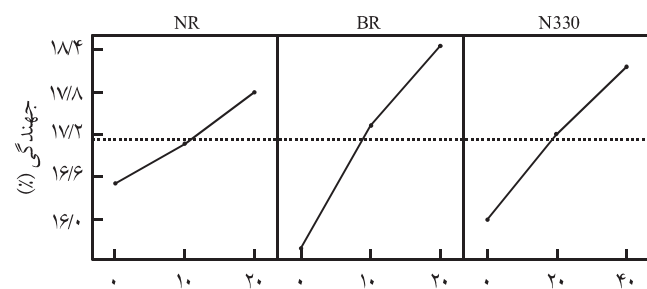
شکل ۳- منحنی آثار اصلی - مطالعه هم زمان اثر جای گزینی بخشی از کائوچوی SBR1712 با کائوچوی طبیعی و کائوچوی بوتادی ان و جای گزینی بخشی از دوده N234 با دوده N330 با زمان پخت آمیزه رویه تایر.

شکل‌های آثار اصلی ۴ تا ۷ نشان داده شده است. افزایش جهندگی آمیزه‌ها (شکل ۴) هنگام آمیخته سازی با کائوچوی طبیعی و مصنوعی BR سیس رامی توان به افزایش چگالی اتصالات عرضی و نیز ماهیت کشسان و غیراتلافی این دو کائوچونسبت داد. با توجه به تغییرات جزئی شاخص پراکنش می‌توان گفت برهم کنش پلیمر - پرکننده اثر کمتری دارد. جای گزینی بخشی از دوده N234 با دوده N330 نیز باعث افزایش جهندگی شده که با توجه به اصول تقویت کنندگی و اختلاف اندازه ذره این دو پرکننده قابل انتظار است (برهم کنش کمتر دوده N330 با زنجیرهای لاستیکی در مقایسه با دوده N234).

درباره اثر آمیخته سازی کائوچو و نیز دوده بر خواص شکست مشاهده می‌شود، جای گزینی با کائوچوی بوتادی ان بهبود سایش را به دنبال دارد (شکل ۵)، این بهبود به مقدار کمتری برای کائوچوی NR نیز مشاهده می‌شود. جای گزینی با دوده N330 افت محضوس مقاومت سایشی را نشان می‌دهد. این کاهش رامی توان به برهم کنش کمتر دوده N330 با شبکه لاستیک در مقایسه با دوده N234 نسبت داد که در این



شکل ۶- منحنی آثار اصلی - مطالعه هم زمان اثر جای گزینی بخشی از کائوچوی SBR1712 با کائوچوی طبیعی و کائوچوی بوتادی ان و جای گزینی بخشی از دوده N234 با دوده N330 بر مقاومت پارگی آمیزه رویه تایر.



شکل ۴- منحنی آثار اصلی - مطالعه هم زمان اثر جای گزینی بخشی از کائوچوی SBR1712 با کائوچوی طبیعی و کائوچوی بوتادی ان و جای گزینی بخشی از دوده N234 با دوده N330 بر جهندگی آمیزه رویه تایر.

همراه دارد، اما اثر آن بر مقاومت پارگی وابسته به سایر متغیرهای فرمول بندی آمیزه است.

با جمع بندی نتایج بخش اول می‌توان گفت، آمیخته سازی دوده N234 با N330 روی مقاومت پارگی و مقاومت سایشی اثر منفی و بر مقاومت رشد ترک اثر مثبت دارد. با توجه به این که این تغییرات در مجموع اندک است و هم‌چنین با توجه به ملاحظات اقتصادی (قیمت کمتر دوده N330) می‌توان بخشی از دوده N234 را با دوده N330 جای‌گزین کرد.

آمیخته سازی کائوچوی SBR با کائوچوی طبیعی و بوتادی ان بهبود جهندگی، مقاومت پارگی، سایش و افزایش سرعت پخت و کاهش زمان پخت بهینه را به دنبال دارد. اما، استفاده از کائوچوی بوتادی ان باعث افزایش سرعت رشد ترک شده است که باید مورد ملاحظه جدی قرار گیرد. با توجه به این که حصول مقاومت سایشی زیاد یکی از اهداف طراحی آمیزه رویه تایر است. لازم است، مقدار این کائوچو در آمیخته زیاد باشد. از طرفی، با توجه به ملاحظات قیمت تمام شده آمیزه نمی‌توان مقدار کائوچوی طبیعی را زیاد کرد. هم‌چنین مشاهده می‌شود، آمیخته سازی باعث افزایش چگالی اتصالات عرضی شده است و تغییر چگالی اتصالات عرضی می‌تواند شرایط بهینه مناسبی فراهم سازد. بنابراین، در ادامه این مطالعه آمیزه‌ای با نسبت NR/BR/NR ۷۰/۲۰/۱۰ انتخاب و سامانه پخت آن بهینه شده است. مطالعه با طراحی آزمایش و در بازه گستره‌ای از مقادیر گوگرد و شتاب دهنده انجام شده است تا اثر چگالی اتصالات عرضی بر خواص شکست و ساز و کارهای حاکم بر آن به طور دقیق و موشکافانه‌ای مطالعه شود.

مطالعه اثر گوگرد و شتاب دهنده

اثر چگالی اتصالات عرضی بر خواص مختلف و به ویژه خواص شکست آمیخته SBR/BR/NR به نسبت ۷۰/۲۰/۱۰ و آمیخته دوده N234/330 به نسبت ۵۰/۴۵ به کمک طراحی آزمایش و تحلیل آماری، مطالعه شده است.

فرمول بندی‌های طراحی شده و نتایج ریومتری آنها در دمای ۱۴۵°C در جدول ۳ ارائه شده است. خواص فیزیکی - مکانیکی در جدول ۴ مشاهده می‌شود. هم‌چنین، ضرایب برازش غیرخطی محاسبه شده و داده‌های آماری لازم در جدول ۵ ارائه شده است. به کمک داده‌های آماری و منحنی‌های سطح پاسخ می‌توان رفتارها را به طور علمی مورد بررسی قرار داد.

Riftar پخت

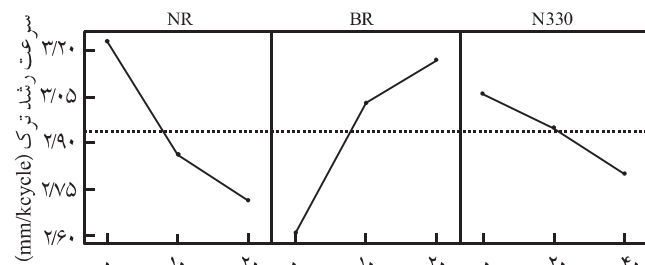
تحلیل آماری انجام شده در جدول ۵ نشان می‌دهد، گوگرد و

اصلی (N330)، با پرکننده با تقویت کنندگی کمتر (N660) بهبود مقاومت پارگی را به همراه داشت. این امر به ساز و کار قابلیت تحرک زنجیرهای لاستیک نسبت داده شد.

افزایش قابلیت تحرک زنجیرهای لاستیک باعث می‌شود، مقادیر بیشتری از انرژی کشسان ورودی به محل پیوندها به جای شکستن پیوندها از راه فرایندهای اتلافی (جا به جای زنجیرها) مصرف شود. دو گانگی‌های مشاهده شده در رفتار مقاومت پارگی رامی‌توان به رقابت بین دو ساز و کار تقویت کنندگی و قابلیت تحرک زنجیرهای لاستیکی نسبت داد که این ساز و کارها در مقالات پیشین مطالعه شده است [۱۶]. مشخص است که رفتار پارگی وابسته به ساز و کار غالب است [۱۶]. این ساز و کارها در ادامه نیز به طور تکمیلی مطالعه شده است.

در باره رشد ترک دی‌متیا با توجه به شکل ۷ می‌توان مشاهده کرد، کائوچوی طبیعی سرعت رشد ترک را کاهش می‌دهد. همان ساز و کار بلورینگی القایی زیر تنفس نیز بر این رفتار حاکم است. اما، اثر کائوچوی بوتادی ان بر سرعت رشد ترک دی‌متیا بر عکس است. در واقع رفتار رشد ترک کائوچوی بوتادی ان با رفتار مقاومت پارگی آن کاملاً تفاوت دارد. به نظر می‌رسد، ماهیت به شدت غیراتلافی این کائوچو اثر بیشتری بر رفتار رشد ترک دی‌متیا داشته باشد [۱۶].

در باره جای‌گزینی دوده N330 نیز کاهش برهم کنش لاستیک - پرکننده باعث می‌شود، انرژی کشسان ورودی با جای به جای زنجیرها به طور مؤثرتری مصرف شود و در نتیجه سرعت رشد ترک کاهش یابد. هم‌چنین، کاهش انرژی کشسان ورودی به محل پیوندها در مجاورت دوده N330 کمتر می‌شود [۱۶]. این نتیجه در توافق با نتایج مطالعات پیشین است. در مجموع می‌توان گفت، رشد ترک دی‌متیا در مقایسه با مقاومت پارگی به ساز و کار قابلیت تحرک زنجیرها حساس‌تر است. به عبارت دیگر، کاهش برهم کنش لاستیک - پرکننده بهبود رشد ترک را به



شکل ۷ - منحنی آثار اصلی - مطالعه هم زمان اثر جای‌گزینی بخشی از کائوچوی SBR1712 با کائوچوی طبیعی و کائوچوی بوتادی ان و جای‌گزینی بخشی از دوده N234 با دوده N330 بر سرعت رشد ترک آمیزه رویه تایر.

جدول ۵- ضرایب به دست آمده از رگرسیون خطی برای خواص مختلف (اعداد داخل پرانتز مقدار آماره P با سطح اطمینان ۹۵٪ است. مقادیر P کمتر از ۰/۰۵ نمایانگر اهمیت آماری این ضریب است).

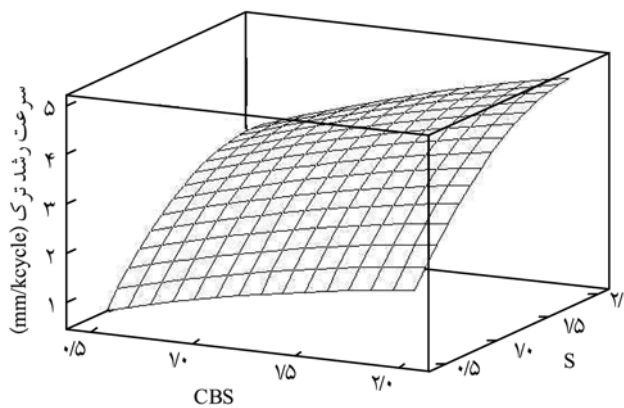
ضرایب همبستگی		ضرایب معادله*						خاصیت
R _{2adj}	R ₂	CBS*S (e)	S*S (d)	CBS*CBS (c)	S (b)	CBS (a)	ضریب ثابت (Y0) (Y0)	
۹۲/۴	۹۳/۷	-۰/۲۰(۰/۳۸)	-۱/۷۳(۰)	-۰/۹۱۲(۰/۰۳)	۲/۷(۰)	۷/۴۲(۰)	۱۶/۱(۰)	جهندگی
۷۶/۳	۸۰/۱	-۲/۹۲(۰)	-۲/۱۴۵(۰)	-۱/۴۵۵(۰)	۱/۱۹(۰/۰۰۶)	۰/۳۳۹(۰/۲۴۸)	۱۷/۳۵(۰)	استحکام کششی
۹۹/۴	۹۹/۵	۰/۵۰۷(۰)	-۰/۲۸۸(۰)	-۰/۷۱(۰)	۳/۰۵(۰)	۱/۷۷۹(۰)	۷/۱۴(۰)	مدول٪۲۰۰
۸۱/۹	۸۴/۸	۰/۱۳۶۱(۰/۴۳۶)	-۰/۶۵۸(۰/۰۰۵)	-۰/۱۲۸(۰/۰۵۷)	۱/۳۲(۰)	۰/۶۸۶(۰)	۳/۷۴۵(۰)	رشد ترک دی متیا
۶۱/۴	۶۷/۶	-۴/۹۸(۰/۰۰۱۳)	-۶/۶(۰/۰۰۹)	-۴/۹۷(۰/۰۴۲)	۷/۱۷(۰)	۳/۸۳(۰/۰۱)	۶۴/۲۶(۰)	مقاومت پارگی
۴۲/۷	۵۲	۳/۷۹۵(۰/۱۷۰)	۳/۲۵۵(۰/۳۴۲)	۸/۹۹(۰/۰۱۳)	۷/۰۲(۰/۰۰۲)	-۴/۸۴(۰/۰۲۳)	۸/۸۲(۰)	مقاومت سایشی
۸۵	۸۷/۴	-۰/۵۲۹(۰/۴۰۷)	-۰/۵۲۹(۰)	-۰/۳۵۲(۰/۰۵۸)	۵/۱۶(۰)	۲/۷۲(۰)	۶۸۷(۰)	سختی
۹۷/۹	۹۸/۳	-۱/۴(۰)	۲(۰)	۲/۱(۰)	-۴/۳(۰)	-۷/۲۷(۰)	۲۴/۰۹(۰)	زمان پخت بهینه (TP90)
۹۸/۹	۹۹/۱	۰/۰۰۲(۰/۹۹۴)	-۲/۶۸(۰)	-۳/۲۲(۰)	۸/۸۲(۰)	۶/۱۷(۰)	۲۶/۲۴(۰)	گشتاور اختلاف

$$Y=Y_0+aCBS+bS+cCBS^*CBS+dS^*S+eCBS^*S$$

مؤثر در ابتدا به دلیل کمبود مقدار گوگرد، زمان آغاز واکنش وولکانش (زمان ایمنی) به تعویق می‌افتد که از دیدگاه فرایندی مطلوب است، زیرا آمیزه رویه باید شرایط گرمایی حادی را در مرحله اکستروژن تجربه کند. اما، به محض شروع واکنش به دلیل وجود مقادیر زیاد شتاب دهنده، تشکیل اتصالات عرضی به سرعت پیش می‌رود به طوری که زمان پخت نهایی سامانه پخت مؤثر کمتر از پخت معمولی است.

خواص فیزیکی- مکانیکی و شکست

همان‌طور که انتظار می‌رود و نتایج تحلیل آماری جدول ۵ نیز مؤید آن



شکل ۸- منحنی پاسخ سطح - مطالعه اثر گوگرد و شتاب دهنده بر سرعت رشد ترک.

شتاب دهنده بر سرعت پخت، زمان پخت بهینه، زمان ایمنی و گشتاور اختلاف اثر مهمی دارند (آماره P برابر صفر محاسبه شده است). گوگرد به عنوان تأمین کننده اتصالات عرضی و شتاب دهنده به عنوان افزایش دهنده کارایی فرایند پخت و با در گیر کردن مقدار بیشتری زنجیر S₈ در فرایند پخت باعث افزایش چگالی اتصالات عرضی می‌شوند. در این حالت افزایش مقدار گوگرد اثر بیشتری بر چگالی اتصالات عرضی در مقایسه با افزایش مقدار شتاب دهنده دارد (ضریب برازش محاسبه شده برای S برابر ۷/۸۲ است که بیشتر از ضریب محاسبه شده برای شتاب دهنده CBS، ۶/۱۷ است).

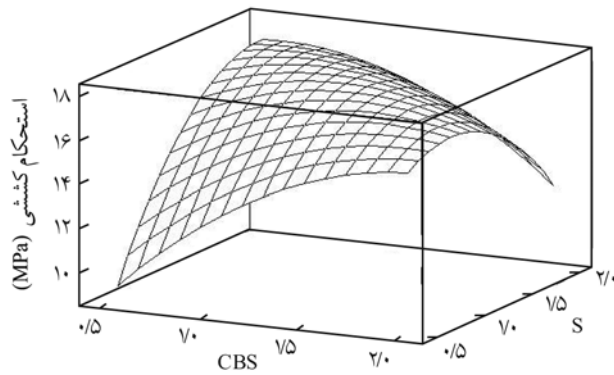
همان‌طور که انتظار می‌رود، افزایش مقدار شتاب دهنده و گوگرد باعث کاهش زمان پخت بهینه می‌شود. اما، اثر شتاب دهنده به مراتب بیشتر از اثر گوگرد است. ضریب برازش محاسبه شده برای S برابر ۴۳- است که کمتر از ضریب محاسبه شده برای شتاب دهنده CBS، ۷/۲۷- است.

از طرف دیگر، شتاب دهنده و گوگرد هر دو زمان ایمنی آمیزه را کاهش می‌دهند که از دیدگاه فرایندی اثری منفی به شمار می‌آید. اما، اثر شتاب دهنده در مقایسه با گوگرد در این کاهش کم رنگ‌تر است (توجه به ضرایب برازش جدول ۵). بنابراین می‌توان پیش‌بینی کرد، در فرمول‌بندی مورد استفاده در این پژوهش برای رسیدن به یک سطح مساوی چگالی اتصالات عرضی استفاده از یک سامانه پخت مؤثر (شتاب دهنده زیاد و گوگرد کم) به جای سامانه پخت معمولی (مقادیر گوگرد زیاد و شتاب دهنده کم) مناسب‌تر است. زیرا، در سامانه پخت

محاسبه شده برای جمله‌های برهم کنش برای مقاومت پارگی و استحکام کششی کمتر از ۰/۰۵ است که نشان دهنده اهمیت این جمله است. در مقادیر کم گوگرد (۰/۰ قسمت وزنی) و شتاب دهنده ۰/۰۵ قسمت وزنی)، افزایش چگالی اتصالات عرضی اثر مثبتی بر مقاومت پارگی دارد. این امر نشان می‌دهد، در چگالی اتصالات عرضی کم، افزایش پیوندهای قوی لاستیک - لاستیک و پرکننده - لاستیک از راه پل تک گوگردی می‌تواند برای مقاومت پارگی مفید باشد. اما، در مقادیر متوسط و زیاد چگالی اتصالات عرضی افزایش گوگرد یا شتاب دهنده می‌تواند هر دو اثر کاهشی و افزایشی داشته باشد. در این حالت رقابتی بین ساز و کارهای حاکم وجود دارد.

رقابت این ساز و کارها در رفتار استحکام کششی نیز به طور مشخص مشاهده می‌شود (شکل ۱۰). در مقادیر کم گوگرد و شتاب دهنده به برهم کنش بیشتر لاستیک - لاستیک و پرکننده - لاستیک نیاز است و افزایش چگالی اتصالات عرضی، استحکام کششی را بهبود می‌بخشد. با افزایش بیشتر چگالی اتصالات عرضی، ساز و کار قابلیت تحرک زنجیرها مهم شده و افت استحکام کششی حاصل می‌شود.

رقابت ساز و کارهای مشروح گفته شده برای مقاومت سایشی نیز مشاهده می‌شود (شکل ۱۱). در مقادیر کم گوگرد (۰/۰ قسمت وزنی) جایی که فقدان تقویت کنندگی (برهم کنش) احساس می‌شود، افزایش مقدار شتاب دهنده باعث بهبود مقاومت سایشی شده است. در مقادیر زیاد شتاب دهنده (۲ قسمت وزنی) که قابلیت تحرک زنجیرها ساز و کار غالب است، افزایش مقدار گوگرد، افت مقاومت سایشی را به همراه داشته است. در مقادیر زیاد گوگرد (۰/۰۵ و ۰/۰۲ قسمت وزنی)، افزایش مقدار شتاب دهنده از ۰/۰ به ۱ قسمت وزنی، بهبود سایش را به همراه دارد، اما افزایش بیشتر تا مقادیر ۰/۰۵ و ۰/۰۲ قسمت وزنی شتاب دهنده، باعث افت



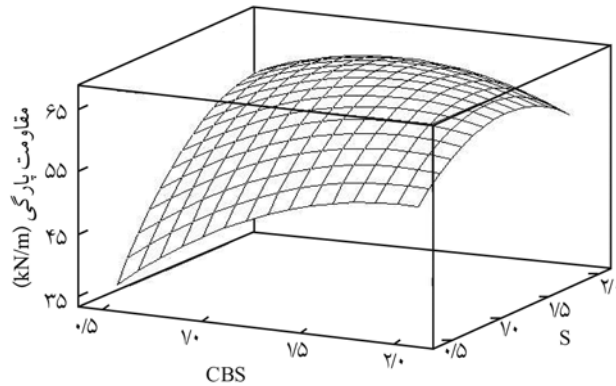
شکل ۱۰ - منحنی پاسخ سطح - مطالعه اثر گوگرد و شتاب دهنده بر استحکام کششی.

است، سختی آمیزه و جهندگی با افزایش مقدار گوگرد و شتاب دهنده افزایش می‌یابد. ضرایب محاسبه شده برای جمله‌های S و CBS مثبت و از لحاظ آماری معنی دارند. این رفتار به دلیل افزایش چگالی اتصالات عرضی است. مقدار ضریب گوگرد از ضریب شتاب دهنده بیشتر است که نشان می‌دهد گوگرد اثر افزایشی بیشتری بر این دو خاصیت (جهندگی و سختی) دارد. اما، تغییرات مشاهده شده در باره خواص شکست را می‌توان به کمک منحنی‌های سطح پاسخ و تحلیل آماری جدول ۵ مطالعه کرد.

مطابق شکل ۸، افزایش مقدار گوگرد و شتاب دهنده اثر منفی بر سرعت رشد ترک دارد. یک افزایش خطی با افزایش مقدار گوگرد و یک افزایش غیرخطی با افزایش مقدار شتاب دهنده مشاهده می‌شود (توجه به ضرایب برازش و آماره P جدول ۵). این رفتار بیانگر اهمیت ساز و کار قابلیت تغییر شکل زنجیرهای است. کاهش مشاهده شده در مقادیر رشد ترک دی‌متیا با افزایش چگالی اتصالات عرضی، می‌تواند به دلیل افزایش مدول آمیزه و افزایش انرژی کشسانی ورودی به محل ترک در هر دوره رفت و برگشت نیز باشد.

از سوی دیگر همان طور که در شکل ۸ مشاهده می‌شود، در مقادیر زیاد اتصالات گوگردی (گوگرد ۰/۰۵ و ۰/۰۲ قسمت وزنی) سرعت رشد ترک کاهش یافته و به مقدار ثابتی می‌رسد (وابستگی غیرخطی). به نظر می‌رسد، این رفتار به دلیل پرنگ ترشدن ساز و کار فروشکنی و تشکیل مجدد اتصالات چندگوگردی باشد، به طوری که بخشی از انرژی کشسان ورودی به محل ترک، به جای شکستن پیوندها به وسیله فرایند اتلافی مصرف می‌شود [۱۶-۲۰].

تغییرات استحکام کششی و مقاومت پارگی در شکل‌های ۹ و ۱۰ ارائه شده است. با توجه به تحلیل آماری انجام شده در جدول ۵ آماره P



شکل ۹ - منحنی پاسخ سطح - مطالعه اثر گوگرد و شتاب دهنده بر مقاومت پارگی.

جدول ۶- بهینه‌سازی و پیش‌بینی مقادیر فرمول بندی.

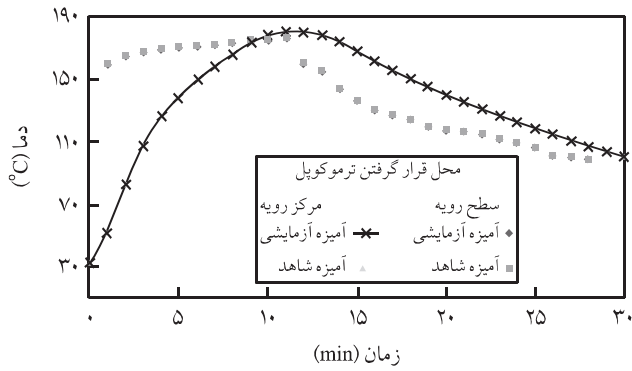
مطلوبیت	پاسخ پیش‌بینی شده برای ترکیب بهینه*	مقدار هدف	خاصیت
۰/۴۵۲۶	۱۷۷	۱۶	جهندگی
۰/۷۷۷۸	۱۶/۶	۱۷	استحکام کششی
۰/۹۴۶۵	۷/۱۶	۷	%۲۰۰ مدول
۰/۴۸۴۵	۳/۵	۳	رشد ترک دی متیا
۰/۹۰۴۵	۶۱	۶۰	مقاومت پارگی
۰/۹۸۱۳	۸۹/۴۲	۹۰	مقاومت سایشی
۰/۴۱۵۸	۶۹/۳	۶۷	سختی
۰/۰۹۸۵	۲۰/۸	۱۹	زمان پخت بهینه (TP90)

*ترکیب بهینه پیش‌بینی شده برای مقدار شتاب دهنده و گوگرد به ترتیب $S=۷۰۲۹۸$ و $CBS=۷۰۰۰۰$.

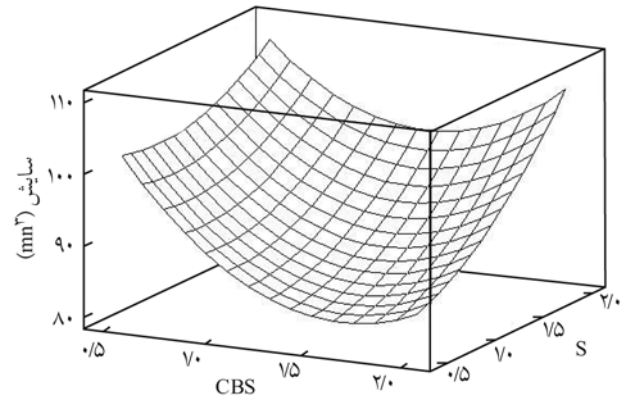
پارامتر جهندگی آمیزه بهینه نیز افزایش قابل توجهی یافته است. در سامانه پخت بهینه CBS/S با نسبت ۲/۱ نیز نیازی به استفاده از عامل بازدارنده PVI نیست.

آزمون ترموموکوپل و مطالعه سینتیک پخت

اشارة شد، فرمول بندی بهینه نهایی دارای زمان پخت کمتر در مقایسه با نمونه شاهد است. با توجه به این که تغییرات اعمال شده در فرمول بندی (تغییر کائوچو و دوده) ممکن است، خواص گرمافیزیکی (ضرایب نفوذ گرمایی و....) را متأثر کرده باشد، یک آزمون ترموموکوپل روی تایر ساخته شده با فرمول بندی آمیزه نهایی شده (برای رویه تایر) انجام شد. منحنی های دما - زمان به دست آمده برای دو نقطه مرکز رویه تایر و سطح آن کاملاً مشابه منحنی های شاهد بود که نشان می دهد، آمیزه بهینه



شکل ۱۲- منحنی تغییرات دما در آزمون ترموموکوپل.



شکل ۱۱- منحنی پاسخ سطح - مطالعه اثر گوگرد و شتاب دهنده بر مقدار سایش.

مقاومت سایشی شده است. به این ترتیب، رقابت بین این دو ساز و کار مشخص است.

بهینه‌سازی مقدار گوگرد و شتاب دهنده

برای بهینه‌سازی ابتدا لازم است، مدل ریاضی برای هر خاصیت به کمک نرم افزار MINITAB محاسبه شود. ضرایب برآورد غیرخطی محاسبه شده و انحراف استاندارد آنها و سایر تحلیل های آماری در جدول ۵ ارائه شده است.

این مدل ها، معادلاتی درجه دوم هستند که تغییرات خواص را به ازای مقادیر مختلف گوگرد و شتاب دهنده پیش‌بینی می کنند. بهینه‌سازی فرمول بندی نیز در محیط MINITAB انجام شد. برای این کار لازم است، مقادیر هدف برای خواص مختلف معین شود. مقادیر هدف برای خواص مختلف به شکل مندرج در جدول ۶ است. برای پارگی مقدار هدف 60 kN/m , سرعت رشد ترک مقدار 3 mm/kcycle , استحکام کششی ۷ MPa , زمان پخت بهینه ۱۹ min مدول ۱۹ mm^3 , سختی ۹۰ mm^3 , جهندگی ۱۶% و سختی ۶۷ MPa شد. حدود بالا و پایین برای هر خاصیت نیز مشخص شد. شرایط بهینه به دست آمده شامل نیز در جدول ۶ ارائه شده است. مقایسه نتایج این فرمول (SBR/BR/NR:70/20/10,N234/N330:50/15,S/CBS:1.03/2) با فرمول شاهد (نمونه: M1 SBR:100,N234:65,S/CBS/PVI:1.7/1.2/0.11) نشان می دهد، فرمول بندی بهینه ضمن داشتن زمان اینمی یکسان، زمان پخت بهینه در دمای 145°C را به مقدار قابل ملاحظه ای کاهش داده و بهبود فوق العاده ای در خواص شکست (مقاومت پارگی، مقاومت سایشی و رشد ترک) حاصل شده است. هم چنین، ضمن حفظ سختی،

نتیجه گیری

آمیخته سازی آمیزه رویه تایر بر پایه SBR با دو کائوچوی BR و NR و بهینه سازی سامانه پخت با تغییر نسبت گوگرد و شتاب دهنده در کنار به کارگیری طرح آزمایش و فنون بهینه سازی، یک فرمول بندی با خواص فوق العاده را نتیجه داده است. ورود مقادیر اندک NR و BR به فرمول بندی پایه ضمن افزایش سرعت پخت و افزایش چگالی اتصالات عرضی، بهبود قابل توجهی در خواص مقاومت پارگی، رشد ترک و سایش را به دنبال دارد. در واقع با ورود کائوچوهای جدید ساز و کارهای حاکم بر خواص شکست تغییر می کند (جای گزینی ساز و کار قابلیت تحرک زنجیرها با بلورینگی القابی زیر تش). هم چنین، افزایش چگالی اتصالات اصلی موجب بهبود قابل توجه جهندگی و گرماندوزی آمیزه شده است. ضمن آن که پارامتر مهم سختی حفظ شده است.

قدرتانی

از مسئولان محترم شرکت کویر تایر که زمینه فعالیت های پژوهشی را فراهم کرده اند، تشکر و قدردانی می شود.

خواص گرفمافیزیکی و رفتار گرمایی مشابهی دارد (شکل ۱۲). هم چنین، به منظور مطالعه بهتر سینتیک پخت و با توجه به غیرخطی بودن رفتار پخت آمیزه های لاستیکی، آزمون ریومتری برای آمیزهنهایی بهینه در سه دمای مختلف (نزدیک به شرایط واقعی پخت تایر) انجام و انرژی فعالیت آن به کمک معادله آرنیوس به دست آمد.

زمان پخت بهینه برای آمیزهنهایی در این مطالعه در دماهای 16°C ، 22°C و 28°C برابر 581 s و 210 s و 244 s و $25/5\text{ Ib.in}$ به دست آمد. زمان پخت بهینه آمیزه شاهد نرمال بیشتر از زمان پخت بهینه آمیزهنهایی و گشتاور اختلاف آن نیز کمتر از آمیزهنهایی بود (زمان پخت بهینه 220 s ، 358 s و 604 s و گشتاور اختلاف 228 lb.in و 238 lb.in). انرژی فعالیت برای آمیزه بهینه شده نهایی کمتر از انرژی فعالیت آمیزه شاهد به دست آمد.

در ادامه یک دمای پخت و زمان پخت معادل از روی منحنی های دما زمان (آزمون ترمومکوپل) برای دو نقطه مرکز رویه و سطح رویه به دست آمد و آزمون ریومتری یک مرتبه دیگر با توجه به این دما و زمان برای دو نقطه انجام شد. برای نقطه ای در مرکز رویه تایر، زمان پخت بهینه آمیزهنهایی برابر 450 s به دست آمد که کمتر از زمان پخت بهینه آمیزه شاهد (488 s) بود. هم چنین، برای نقطه ای روی سطح رویه نیز زمان پخت بهینه به دست آمده برای فرمول بندی نهایی و شاهد به ترتیب 349 s و 367 s به دست آمد.

مراجع

1. Derringer G.C., Statistical Methods in Rubber Research and Development, *Rubber Chem. Technol.*, **61**, 377-420, 1986.
2. Kukreja T.R., Kumar D., Prasad K., Chauhan R.C., Choe S., and Kundu P.P., Optimisation of Physical and Mechanical Properties of Rubber Compounds by Response Surface Methodology-Two Component Modeling Using Vegetable Oil and Carbon Black, *Eur. Polym. J.*, **38**, 1417-1422, 2002.
3. Atashi H. and Shiva M., Statistical Analysis, Modeling and Optimizing if Silica, Rubber Ratio and Sulfur Levels in Truck Tire Tread Compound., *Asian J. Chem.*, **22**, 6451-6470, 2010.
4. Weissert, F.C. and Cundiff, R.R., Compounding Diene/NR Blends for Truck Tires, *Rubber Age*, **92**, 881, 1963.
5. Bunganic R. and Bafrnec M., Chemical Engineering Study of Curing Process, *30th Conference SSCHE*, 26-30 May, 2003.
6. Wang W., Lama R., and Herd C., Improving Thermal Conductivity and Service Life in Bladder Compounds, *Rubber World*, 2000.
7. Hamed G.R., Effect of Crosslink Density on the Critical Flaw Size of a Simple Elastomer, *Rubber Chem. Technol.*, **56**, 244-251, 1983.
8. Hamed G.R. and Rattanasom N., Effect of Crosslink Density on Cut Growth in Gum Natural Rubber Vulcanized, *Rubber Chem. Technol.*, **75**, 323-332, 2002.
9. Abi S.A., Kuruvilla J., and Sabu T., Recent Developments in Crosslinking of Elastomers, *Rubber Chem. Technol.*, **78**, 458-488, 2005.
10. Chun H. and Gent A.N., Strength of Sulfur Crosslink Elastomers, *Rubber Chem.. Technol.*, **69**, 577-590, 1996.
11. Shiva M. and Atashi H., Improvement of Tear Resistance and Crack Growth of Tread Tire with EV-Cure Systems and Use of Semi-reinforcement Fillers, *Iran J. Polym. Sci. Technol.(In Persian)*, **21**, 285-295, 2008.

12. Hamed G.R., Tear Strength of Black-filled Natural Rubber Crosslinked via Conventional and Effective Sulfur Cures, *Rubber Chem. Technol.*, **77**, 227-228, 2004.
13. Shiva M. and Yazdani R., Study of Effect of Density and Type of Sulfur Crosslinks on Tear Resistance and Crack Growth of Tread Compound with the Aid of Taguchi Experimental Design, *9th Iranian Rubber Conference*, Kish, Iran, 2008.
14. Atashi H. and Shiva M., Study of Governing Mechanisms on Failure Properties of Filled Rubber Compound in Different
- Crosslink Density and Types, *Asian J. Chem.*, **22**, 6778-6790, 2010.
15. Hamed G., Molecular Aspects of the Fatigue and Fracture of Rubber, *Rubber Chem. Technol.*, **67**, 529-536, 1994.
16. Atashi H., Sobhanmanesh K., and Shiva M., Assessments on the Tear Resistance Improvement Mechanisms in the Carbon Black/Silica/Silane Reinforcement Systems, *Iran. J. Polym. Sci. Technol. (In Persian)*, **18**, 76-80, 2005.